

大阪市立大学工学部 正員 中井 博  
 " " " 事口 寿男  
 阪神高速道路公団 " 吉川 実

## 1. まえがき

著者らは以前より、1本主桁の曲線工げた橋を対象にして一連の横だおれ座屈崩壊実験を行って、曲線工げた橋の曲げ圧縮応力度に関する考察を進めてきた<sup>1)</sup>。しかし、並列曲線工げた橋の場合、これが横方向に座屈するとき、主桁と対傾構・横構との相互の協力作用などをどのように評価してよいのがあまり明確でない。それで、本文では実橋をモデルとした次元解析により、対傾構・横構の構造系が種々異なる並列2本曲線工げた橋を製作し、これらの実験模型橋による横だおれ崩壊実験を行い、フレーミングの構造系が並列曲線工げた橋の横だおれ耐荷力に及ぼす影響などについて考察するものである。

## 2. 実験概要

A. 実験橋 図-1に並列曲線工げた橋模型の平面図、表-1に横構・対傾構の断面寸法を示す。また、写真-1は一例として、模型橋(G-4)の実験風景を示したものである。主桁の材料はSS-41材、対傾構はSR-24(充腹横行SS-41)、横構にはSR-24とSTKR-41を使用した。

b. 実験方法 図-2に載荷法を示すが、50トンジャッキ2基を載荷橋に鉛直に載荷し、各主桁の両端にそれぞれ等曲げモーメントを作用させる。支点にはロードセルを用いたが崩壊時にロードセル損傷防止のため、弾性実験で荷重が正確にコントロールできることを確かめた後、ロードセルと同一寸法の剛棒を用いて実験を進行した。

C. 測定方法 主桁のひずみ測定は5mmゲージ、対傾構・横構には3mmゲージを用い、すべて自動ひずみ測定器で行った。主桁変形量の測定は一断面につき4個のダイヤルゲージを用いて行った(写真-1参照)。

表-1 実験橋の断面寸法

実験橋	横構	対傾構
G-1		300x8
G-2		Φ22 Φ19 (斜材)
G-3		Φ19
G-4		300x8
G-5		Φ22 Φ19 (斜材)
G-6		Φ22 Φ19 (斜材)

主桁断面 2Flg. I2 80x10, 1Web I2 380x10

図-1 実験橋の平面図

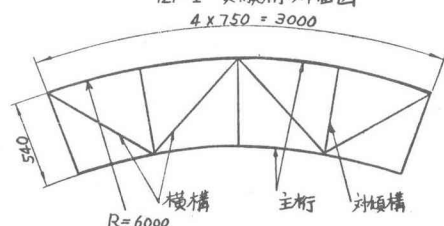


図-2 載荷方法

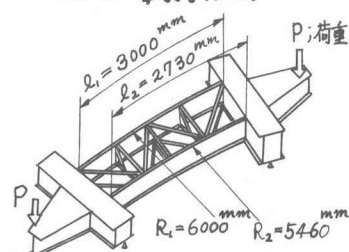
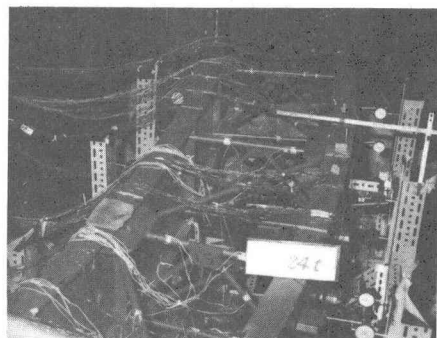


写真-1 実験風景



### 3. 実験結果と考察

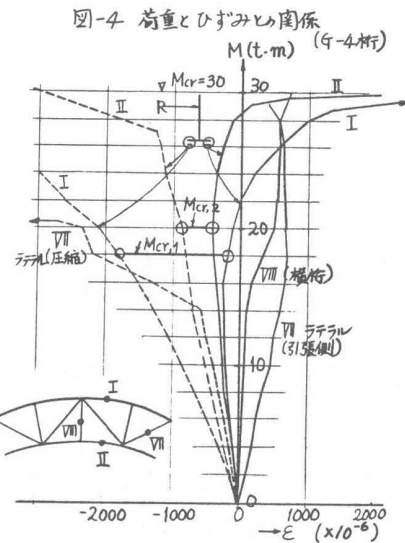
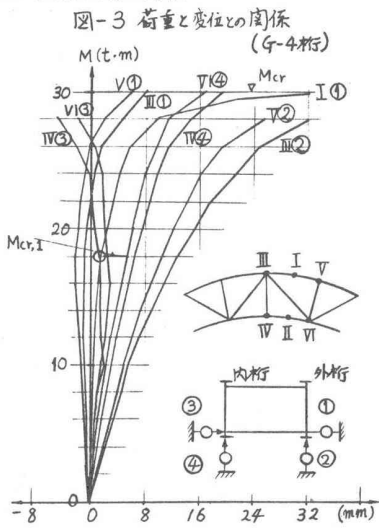
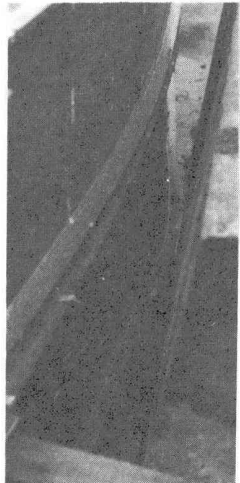


写真-2 圧縮側フランジの横たわれ座屈



実験結果の一例として G-4 桁の荷重と主柱変形量との関係、および荷重と主要断面のひずみとの関係を図-3, 4 にそれぞれ示す。図-4 からわかるように横構の圧縮側部材は 20 トン附近で座屈し、18 トン、および 20 トン附近で外桁、内桁の固定点間内のパネル（断面 I, II）が横方向に座屈し始めている。図-3 においては 20 トン附近で外桁の固定点間内のパネル中央（断面 I）の横方向変位が増加し始めており、図-4 の  $M_{cr,1}$  と一致している。この実験桁の最終耐荷力は 30 トンである。また、写真-2 は外桁の固定点間内のパネルで圧縮フランジが横たわれ座屈現象を呈している様子を示したものである。表-2 は各桁の座屈モードと最終耐荷力を一括して示したものである。これらの表、および実験結果から統合的に判断すると、次のように要約することができると思われる。

①横構断面積が大きくなれば (G-1 と G-4, G-2 と G-5)，当然耐荷力が増加するが、同じ横構断面積で対傾構を充腹横構にした場合 (G-1 と G-2, G-4 と G-5) よりも、横構断面積 (剛度) を大きくした方が耐荷力を上げることができる。②G-3 桁は横構がないので、それ故に 1 本の桁としての挙動を示し耐荷力も各桁の耐荷力の和として表わされる。③G-6 桁は横構断面積も大きく、かつ上下にダブルに組まれているので、耐荷力はけた固有の極限強度まで期待できる。また、座屈モードから観察しても箱形断面として挙動することがわかる。④G-2 桁を基準にして G-1～6 桁の耐荷力の比をとると、それぞれ 1.09 (G-1), 0.44 (G-3), 0.88 (G-4), 0.76 (G-5), 1.35 (G-6) となる。これより、G-2 桁を基本にすると対傾構を充腹横構にした場合、耐荷力は 9% 増であるが、横構断面積 (剛度) を小にした場合、耐荷力は 24% も減少することがわかる。

あとがき 詳細については講演発表当日報告する次第である。

参考文献 ①中井・事口・吉川, 昭和 51 年度土木学会関西支部, I-56, ②福本・久保, Proc. of JSCE, No. 196, 1971.12, pp. 19~28

表-2 座屈モードと最終耐荷力

実験桁	座屈モード	耐荷力 (t)
G-1		37.0
G-2		34.0
G-3		15.0
G-4		30.0
G-5		26.0
G-6		46.0

$$M_p = \sigma_y \left( \frac{1}{2} A_f h_f + \frac{1}{4} A_w r_{hw} \right) \times 2 \div 42 t \cdot m$$